

停流分光光度法研究铁卟啉与肼反应动力学

* 钟新华 黄杰生 周永治* 林华宽 卜显和 申泮文

(南开大学化学系, 天津, 300071)

用停流分光光度法研究了氯代四苯基卟啉铁(III) [FeT(*p*-X)PPCl, X= H, CH₃]与肼在二氯甲烷溶液中的反应动力学, 求得了不同温度下反应的速率常数及活化参数, 初步探讨了反应机理。

关键词: 铁卟啉 肼 动力学 停流分光光度法

铁卟啉广泛存在各种血蛋白和酶中^[1], 它们在生命过程中的重要性是众所周知的^[2]。有关取代肼(尤其是单取代芳基肼)与血红蛋白(Hb), 肌红蛋白(Mb), 细胞色素p-450等的反应已有报道^[3, 4]。本文研究氯代四苯基卟啉铁与肼的反应动力学, 产物为六配位的亚铁卟啉肼加成物, 初步讨论了反应机理。

实验部分

一. 化合物的合成

对位取代四苯基卟啉[H₂T(*p*-X)PP, X= H, CH₃]按文献[5]合成, Fe(III)T(*p*-X)PPCl按文献[6]合成。产物用200~300目中性氧化铝柱提纯两次, 洗脱剂为分析纯二氯甲烷+石油醚(1:1)。洗脱液用2 mol·dm⁻³盐酸处理, 以除去可能存在的氧桥二聚体。分离出的有机相用无水硫酸钠干燥, 过滤后旋转蒸发至近干, 在乙醇中结晶析出, 再在1, 2-二氯乙烷+正庚烷混合溶剂中重结晶, 得到亮紫色的FeT(*p*-X)PPCl晶体。元素分析结果: 当X=H, CH₃, 分别有C% 75.32, 75.43(75.07, 75.85); H% 3.84, 4.92(4.01, 4.77); N% 7.79, 7.44(7.96, 7.37), 括号内为计算值。

二. 溶剂提纯及溶液配制

分析纯二氯甲烷用活化过的分子筛处理, 过滤后蒸馏, 通干燥氮气10 min除氧。分析纯无水乙醇用镁条干燥后蒸馏。Fe(III)T(*p*-X)PPCl(X= H, CH₃)溶于二氯甲烷, 浓度2.00×10⁻⁵ mol·dm⁻³。1.00 mL分析纯水合肼溶于9.00 mL乙醇中, 此溶液用二氯甲烷稀释成一系列所需浓度。溶剂均新鲜蒸馏纯化。

三. 仪器和实验

停流分光光度仪为Union Giken公司生产的RA-401型。光谱用岛津UV-240型光谱仪在室温下扫描, 见图(a)和(b)。肼在可见区无吸收。反应物与生成物在379 nm处吸光度

* 收稿日期: 1995-03-22

天津市21世纪青年基金资助课题

* 通讯联系人。

第一作者: 钟新华, 男, 25岁, 硕士。研究方向: 无机合成。

相差最大，在此波长处检测停流信号，即吸光度 A 随时间 t 的变化，见图 2。按一级反应自动计算表观速率常数 k_{obs} (均取 3 次结果的平均值)。实验在氮气下进行，温度恒定至 $\pm 0.1^{\circ}\text{C}$ 。

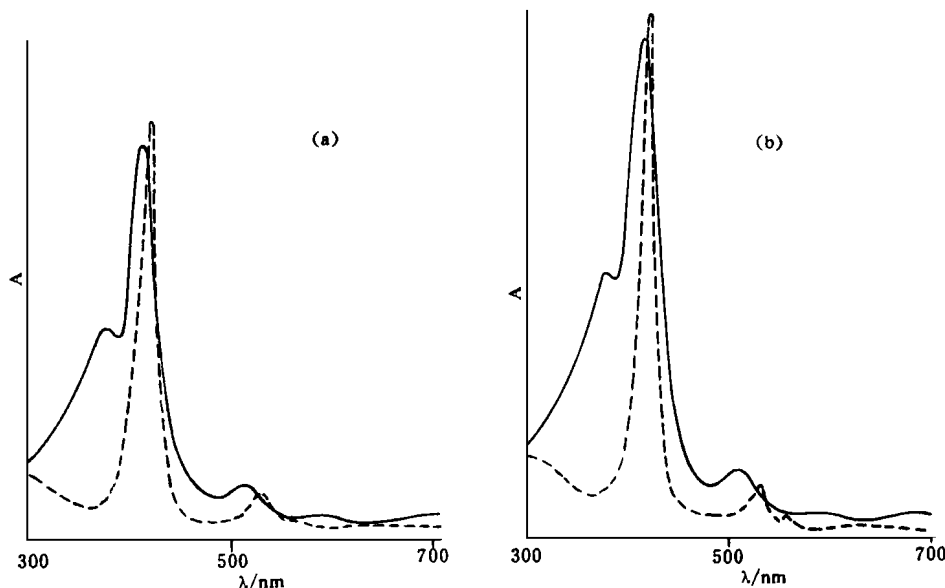


图 1 FeT(*p*-X)PPCl(实线)和 FeT(*p*-X)PP(NH₂NH₂)₂ 的紫外可见光谱
(a) X= H, (b) X= CH₃

Fig. 1 UV-V is spectra of FeT(*p*-X)PPCl (solid line) and FeT(*p*-X)PP(NH₂NH₂)₂ (dash line)
(a) X= H, (b) X= CH₃

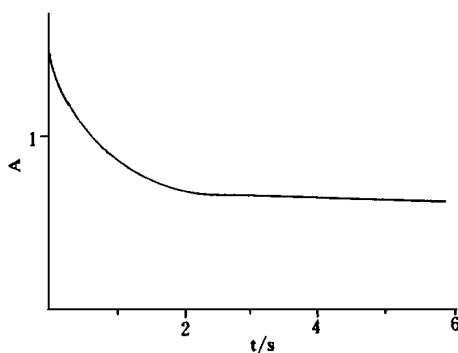


图 2 典型停流波迹(A-t 曲线)

Fig. 2 A typical oscillographic trace of the stopped-flow (A-t curve)

表 1 FeTPPCl 体系在不同肼浓度和温度下的 k_{obs}

Table 1 Influence of [NH₂NH₂] on k_{obs} at Various Temperature of FeTPPCl System

T (K)	[NH ₂ NH ₂] ($10^{-3} \text{ mol} \cdot \text{dm}^{-3}$)					
	1.20	3.00	6.00	9.00	12.00	15.00
278.2	0.100	0.258	0.530	0.800	1.070	1.320
283.2	0.118	0.298	0.602	0.900	1.186	1.520
288.2	0.140	0.350	0.690	1.048	1.360	1.699
293.2	0.160	0.392	0.785	1.190	1.549	1.960

结 果 和 讨 论

一. 反应级数和速率常数

实验时肼的浓度为 $10^{-3}\text{--}10^{-2}\text{ mol} \cdot \text{dm}^{-3}$ 数量级(见表 1 和表 2), 符合 $[\text{NH}_2\text{NH}_2] >> [\text{FeT}(p\text{-X})\text{PPC1}]$ 的条件, 停流波迹($A-t$ 曲线)按对 $\text{FeT}(p\text{-X})\text{PPC1}$ 为准一级反应的模型能很好拟合, 得各不同实验温度下的 $k_{\text{obs}}(\text{s}^{-1})$, 列于表 1 和表 2。

再以所得 k_{obs} 对 $[\text{NH}_2\text{NH}_2]$ 作图, 两体系都得几乎通过原点的直线, 线性相关系数均在 0.997 以上, 故反应用于肼也为一级, 总反应为二级反应, 速率方程为

$$\begin{aligned} r &= d[\text{FeT}(p\text{-X})\text{PPC1}]/dt = k_{\text{obs}}[\text{FeT}(p\text{-X})\text{PPC1}] \\ &= k[\text{FeT}(p\text{-X})\text{PPC1}][\text{NH}_2\text{NH}_2] \end{aligned}$$

表 2 $\text{FeT}(p\text{-CH}_3)\text{PPC1}$ 体系在不同肼浓度和温度下的 k_{obs}

Table 2 Influence of $[\text{NH}_2\text{NH}_2]$ on k_{obs} at Various Temperature of $\text{FeT}(p\text{-CH}_3)\text{PPC1}$ System

T (K)	$[\text{NH}_2\text{NH}_2] (10^{-3}\text{ mol} \cdot \text{dm}^{-3})$					
	1. 20	3. 00	6. 00	9. 00	12. 00	15. 00
278. 2	0. 150	0. 386	0. 780	1. 160	1. 553	1. 950
283. 2	0. 180	0. 450	0. 902	1. 380	1. 820	2. 281
288. 2	0. 205	0. 532	1. 063	1. 601	2. 148	2. 690
293. 2	0. 245	0. 620	1. 244	1. 870	2. 500	3. 150

式中的速率常数 $k = k_{\text{obs}}/[\text{NH}_2\text{NH}_2]$, 列于表 3。

表 3 $\text{FeT}(p\text{-X})\text{PPC1}$ 体系不同温度下的速率常数 k

Table 3 Rate Constant k of $\text{FeT}(p\text{-X})\text{PPC1}$ System at Various Temperature

T (K)	$k (\text{dm}^3 \cdot \text{mol}^{-1} \cdot \text{s}^{-1})$	
	FeTPPC1	$\text{FeT}(p\text{-CH}_3)\text{PPC1}$
278. 2	88. 94	129. 80
283. 2	100. 74	152. 47
288. 2	112. 90	180. 08
293. 2	130. 06	210. 05

二. 活化参数

根据 Arrhenius 公式 $k = A e^{-E_a/RT}$, 由表 3 的数据, 以 $\ln k$ 对 $1/T$ 作图, 可得反应活化能 E_a 及频率因子 A 。由 $\Delta H = E_a - RT$ 及绝对速率理论可推得^[7], $A = e \times \frac{k_B T}{h} \times e^{\Delta S / R}$, 从而得到 $\Delta S = R [\ln A - \ln \frac{k_B T}{h} - 1]$, 可求得 ΔS 。活化能和给定温度下的其余活化参数见表 4。

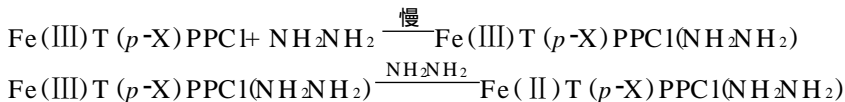
表 4 $\text{FeT}(p\text{-X})\text{PPC1}$ 与 NH_2NH_2 反应的活化参数

Table 4 Active Parameters of $\text{FeT}(p\text{-X})\text{PPC1}$ Reaction with NH_2NH_2

	FeTPPC1	$\text{FeT}(p\text{-CH}_3)\text{PPC1}$
$E_a(\text{kJ} \cdot \text{mol}^{-1})$	17. 38	22. 29
$\Delta H_{298}(\text{kJ} \cdot \text{mol}^{-1})$	14. 90	19. 81
$\Delta S_{298}(\text{J} \cdot \text{mol}^{-1})$	- 153. 53	- 132. 75
$\Delta G_{298}(\text{kJ} \cdot \text{mol}^{-1})$	60. 65	59. 37

三. 反应机理探讨

Fe(III)T(*p*-X)PPC1与肼反应产物经光谱表征为 Fe(II)T(*p*-X)PP(NH₂NH₂)₂, 这与 Battioni 等^[8]报道 CH₃NHNH₂ 还原 FeTPPC1 生成 Fe(II)TPP(CH₃NHNH₂)₂ 相符。反应的活化能很小, 但有一个大的负活化熵, 这表明反应的每一步骤应都易活化, 而且在过渡态, NH₂NH₂ 很可能已在铁卟啉的轴向取向和极化, 使配位有一个近于 *S*_N2 的机理。据此可初步提出反应有如下主要步骤:



步骤 1 为速控步骤, 它与反应为二级符合。步骤 2 因附近有已被有效活化的还原剂 NH₂NH₂ 而变得易于进行, 步骤 3 的配体交换因素时 Cl⁻ 已不起电荷配衡作用及双肼配位物种对称性更高而更趋有利。这一机理的前一步骤都使后一步骤易于进行, 但它的证实还需要更多证据和工作。

参 考 文 献

- [1] Doeffer, M. M., Swiegart, D. A., O'Brien, P., *Inorg. Chem.*, **22**, 851(1983).
- [2] (a) Buchler, J. W. in Smith, K. M. (ed.), *Porphyrins and Metalloporphyrins*, Elsevier Scientific Publishing Company, Amsterdam, the Netherlands, p. 157 (1975); (b) Dolphin, D. (ed.), *The Porphyrins*, Academic Press, Inc., London, (1978); (c) Buchler, J. W. (ed.), *Metal Complexes with Tetrapyrrole Ligands*, Springer-Verlag, (1987).
- [3] Evans, W. J., Wayda, A. L., Chang, C. W., Cwirla, W. M., *J. Am. Chem. Soc.*, **100**, 33(1978).
- [4] Zinner, H. A., Evans, W. J., Pluth, J. J., *J. Chem. Soc., Chem. Commun.*, 810(1980).
- [5] Adler, A. D., *J. Org. Chem.*, **32**, 476(1967).
- [6] Adler, A. D., Longo, F. R., Kim, J., *J. Inorg. Nucl. Chem.*, **32**, 2443(1970).
- [7] 傅献彩等, 物理化学(第四版), 高等教育出版社(1990).
- [8] Battioni, P., Mahy, J. P., Gillet, G., Mansuy, D., *J. Am. Chem. Soc.*, **105**, 1399(1983).

STUDY ON KINETICS OF REACTION BETWEEN IRON PORPHYRIN AND HYDRAZINE HYDRATE BY STOPPED-FLOW METHOD

Zhou Xinhua Huang Jieshen Zhou Yongqia

Liu Huakuan Bu Xianhe Shen Panwen

(Department of Chemistry, Nanjing University, Nanjing, 300071)

The kinetics of reaction between chloroiron tetraphenylporphyrin FeT(*p*-X)PPC1 (X=H, CH₃) and hydrazine hydrate in dichloromethane solution was investigated. The rate constant of the reaction at various temperature and active parameters were obtained. The mechanism of the reaction was explored.